

郊外電車による地盤振動の解析について

立命館大学大学院 学生員 〇松藤泰輔  
立命館大学工学部 正員 早川 清  
立命館大学工学部 正員 畠山直隆

(1)はじめに——私鉄の平面区間において電車走行による付近の地盤振動の測定を行った。振動レベル計による加速度、動電型振動計による変位を測定した。それらの波形記録を調べることにより、車輪の溶接継目部の小さいへみ通過による影響が非常に大きいことが分かった。したがって、ここでは溶接継目の影響について調べた結果と、さらに弾性理論を用いた振動波形を計算した結果について述べる。

(2)溶接継目の影響について——振動レベル計のピックアップ、動電型振動計の設置位置および溶接継目の位置は図-1に示す通りである。このレベル計、振動計による上下方向成分のみ測定を行った。一方、溶接継目部を調べると溶接部にわずかにへみができていることが分かった。図-2に実測の変位波形、図-3に実測の加速度波形を示した。図-2、図-3中のI-1bは電車1両目第1車輪が継目部を通過していることを示す。

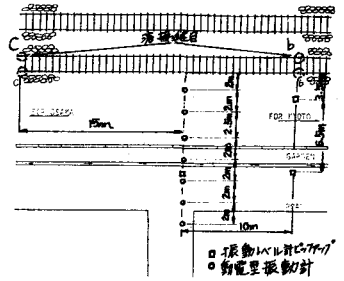


図-1 ピックアップおよび継目の位置

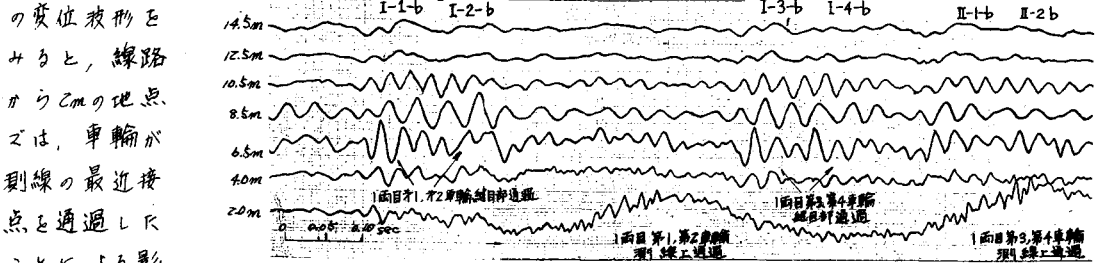


図-2 実測の変位波形

響が大きいが、6.5mの地点では車輪の溶接継目部通過による影響が大きくなること分る。車輪が溶接継目部を通過する際に発生する振動の周波数は40Hz付近であって高いため、加速度波形では溶接継目通過による影響が強調され、図-3のように車輪の溶接継目部通過による影響しか記録されはならないことになる。継目部で発生する40Hz付近の周波数成分は、台車のバネ下質量、レールおよび枕木が一体となって振動する場合の固有振動数と思われる、車輪が溶接継目部を通過する際に誘発されると考えられる。

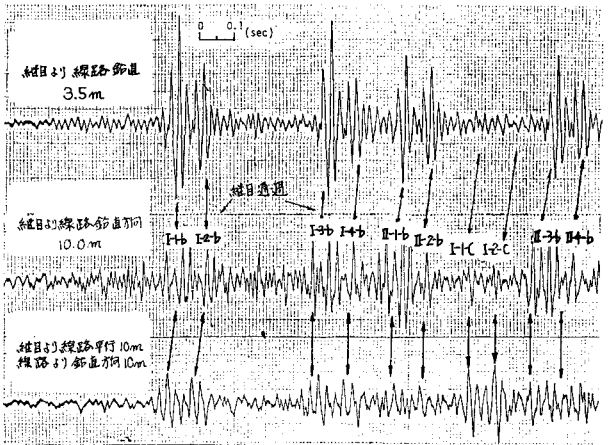


図-3 実測の加速度波形

[3]計算による波形の再現——Lambによれば、半無限弾性体表面の1点を原点とし、 $x$ に  $K \exp i\omega t$  なる鉛直方向同期力が働く場合、振源より  $r$  離れた  $K$  点の変位  $W_0$  は(1)式のようになる。

$$W_0 = \frac{KRK}{\mu} \sqrt{\frac{1}{2\pi KR}} \exp\{i(\omega t - kr - \frac{\pi}{4})\} \quad (1), \quad W = 340.2 \times R \times \sqrt{r} \times \omega^{\frac{5}{2}} \times r^{-\frac{5}{2}} \exp\{i(-\frac{\omega r}{V_r} - \frac{\pi}{4})\} \quad (2)$$

ここに  $K, K = -ka \sqrt{k - k_0^2} / F(k), F(k) = (2k^2 - 2ka^2)^{-1} - 4kVU', U'^2 = (k^2 - k_0^2)^2, V'^2 = (k^2 - ka^2)^2, ka = \omega / V_0, ka^2 = \omega / V_0, \omega$  は角振動数である。

ここにポアソン比を  $1/3$ , 土の単位体積重量を  $1.6 \text{ t/m}^3$  とし(1)式を整理すると(2)式になる。 $R$  は荷重である。 $V_r$  は実測結果より  $286 \text{ m/s}$ , 電車走行速度を  $30 \text{ m/s}$  ( $108 \text{ km/h}$ ),  $\omega = 2\pi \times 40 \text{ Hz}$  とし、

(2)式を車輪に適用して線路から  $2 \text{ m}$  の地点の変位波形の計算をすると図4のようになる。図5は実測波形であり、図4, 図5を比べると変位の大きさ、波形ともほぼ再現できたとと思われる。

しかし、線路から  $65 \text{ m}$  の地点については変位波形の計算を行っても、溶接継目部の影響が大きいため実測波形と一致しない。次に、車輪の着接継目部通過による影響が大きいことから、車輪が着接継目部を通過するとき溶接継目部に衝撃力が働く



図4 計算による変位波形

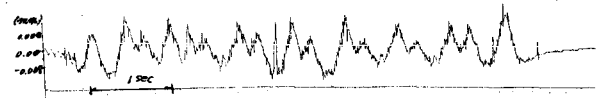


図5 実測の変位波形

と考え、加速度波形を計算により求める。Lambによれば、半無限弾性体表面の1点に衝撃力が加わり、その衝撃力による変位が  $S(t) = PL / (\rho^2 t^2)$  ( $P, L$  は任意の正数) なる時間関数で表わされるとき、振源より  $r$  離れた  $K$  点の変位は(3)式のようになる。

$$W = \frac{KL}{2\mu(2rV_r)^{\frac{3}{2}} \rho^2} \cos 2\psi \cos(\frac{\pi}{4} - \frac{3}{2}\psi) \quad (3), \quad ACC = \frac{d^2W}{dt^2} = -0.0045235 \times L \times r^{-\frac{5}{2}} \times V_r^{\frac{5}{2}} \times \rho^2 \times \cos 2\psi \cos(\frac{\pi}{4} - \frac{3}{2}\psi) \quad (4)$$

ここに  $K$  は(1)式と同一であり、 $\cos 2\psi = P / \sqrt{\rho^2 t^2}, \psi = t - (r/V_r)$  である。ポアソン比、土の単位体積重量を

(2)式の場合と同様とし(3)式を加速度に変換すると(4)式となる。振源における変位が決定できないため(4)式中の  $L$  とし、各車輪による荷重比を考え、 $P = 0.01$ ,  $V_r = 286 \text{ m/s}$ , 電車走行速度を  $108 \text{ km/h}$ , 図6のように溶接継目と竹打とし、各継目に(4)式を適用して、図6中の0点について加速度波形を計算すると図7のようになる。図8は実測波形であり、計算による車輪の着接継目部通過時に極大振幅が発生する

a, b, c, d... 溶接継目

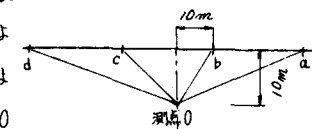


図6 計算における点と継目の関係

ということが再現できると思われる。しかし、理論計算による加速度波形では、振幅が定量的に把握できないこと、極大振幅前後の小さい振動が再現できないこと等問題があり、今後さらに検討が必要である。

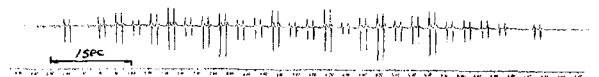


図7 計算による加速度波形

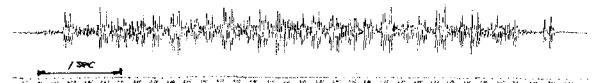


図8 実測の加速度波形

[4]おわりに——実測波形、計算結果より電車走行により発生する地盤振動では、車輪の着接継目部通過による影響は非常に大きく、測定、解析にあつては溶接継目部の小さいへこみによる影響を考慮する必要があると思われる。しかし、測定資料が少いため、さらに測定を重ね検討を行いたいと思ふ。